

离子波纹场纵向电场分量对离子 波纹激光的影响*

刘濮鲲

(北京大学技术物理系重离子物理研究所 北京 100871)

熊彩东

(电子科技大学高能电子学研究所 成都 610054)

提要 通过非线性数值模拟, 研究了离子波纹激光(IRL) 中离子波纹场的纵向电场分量对束-波互作用的影响。结果表明, 离子波纹场的纵向分量对 IRL 的工作状况具有较大的影响。其中互作用长度的选择是非常重要的。

关键词 离子波纹, 纵向场分量, 电子束, 激光

1 引 言

自从离子波纹激光(Ion-Ripple Laser, IRL)的概念由 Chen 和 Dawson^[1,2]在不久前提出以来, 已引起人们的兴趣^[3~5]。在 IRL 中, 一相对论电子束斜穿过一等离子体内的准稳态离子波纹, 在离子波纹的周期性静电场作用下, 借助于背向拉曼散射产生电磁辐射。与常规自由电子激光(FEL)^[6]相比, 由于 IRL 具有易调的短 wiggler 波长, 稳态的高 wiggler 场强; 离子波纹的产生较容易, 不需太多能量; 原理上, IRL 不需要外磁场, 也不要求外部结构(波导、腔体); 电子束在等离子体内产生的离子通道, 还提供了对 IRL 辐射的导行^[7], 因此, 作为一种产生从微波到软 X 射线的可调谐相干辐射的新体系, IRL 可能具有重要的发展前景。

Chen 和 Dawson^[1,2]导出了 IRL 的波耦合的流体理论色散关系, 讨论了 IRL 的辐射放大机制和它的可能应用, 并采用 $1\frac{1}{2}$ 维粒子模拟的方法来验证他们的理论。Dai 和 Xu^[3]给出了描述拉曼情况下 IRL 的波耦合的三维理论, 着重分析了喇曼型 IRL 中的部分介电导行。Kuper-shmidt 和 Ron^[4]则提出了一种产生离子波纹 wiggler 的新方法, 并认为这种新的体系能产生比 Chen 和 Dawson 提出的离子声波体系更短波长的辐射。在文献[5]中, 我们利用三波互作用的动力学耦合模理论研究了 IRL 中电子束的纵向动量离散效应。以上这些工作均未考虑离子波纹场的纵向电场分量(即平行于电子束方向的分量)。因此, 本文将通过非线性数值模拟来研究离子波纹场的纵向分量对 IRL 的工作状况的影响。

* 国家自然科学基金资助项目。

收稿日期: 1996—02—05; 收到修改稿日期: 1996—04—05

2 计算方程

考虑一相对论电子束以初始速度 $v_{z0}\hat{z}$ 斜穿过一离子波纹, 与离子波纹的交角为 θ 。该离子波纹既可采用 Chen 和 Dawson^[1] 的离子声波系统产生, 也可采用 Kupershmidt 和 Ron^[4] 提出的用两束外部激光束入射到等离子体内的混合系统产生。由于互作用的时间尺度比离子运动的时间尺度短得多, 因此离子波纹将被束电子看成是一稳定的 wiggler。我们假定: 1) 在等离子体内已经存在离子波纹, 不考虑过渡情况; 2) 相对论电子束较窄且离子波纹足够宽, 离子波纹场的横向 ($x\hat{x}, y\hat{y}$) 空间变化可以忽略; 3) 在电子束运动的通道内没有等离子体电子; 4) 忽略束电子与波纹离子之间的碰撞。离子波纹电场可写作^[1]:

$$\vec{E}_{ir} = E_{ix}\hat{x} + E_{iz}\hat{z} \quad (1)$$

式中 $E_{ix} = (4\pi n_0 e/k_w) \epsilon \sin \theta \cos(k_w z)$, $E_{iz} = - (4\pi n_0 e/k_w) \epsilon \cos \theta \cos(k_w z)$, $\epsilon_i = \epsilon_i r \cos \theta$, $k_w = k_{ir} \cos \theta$, ϵ_i 为离子密度波纹, k_{ir} 为离子波纹的波数, n_0 为等离子体的平均密度。

由于 IRL 只能是线极化的, 因此我们采用如下形式的线极化平面电磁波:

$$\begin{cases} \vec{E}_l = E_l \cos(\omega t - kz) \hat{x} \\ \vec{B}_l = (c/v_{ph}) E_l \cos(\omega t - kz) \hat{y} \end{cases} \quad (2)$$

式中 E_l 为场的辐值, $v_{ph} = \omega/k$ 为波的相速, c 为真空中的光速, ω 和 k 分别为波的角频率和波数。

在描述相对论电子与波互作用的闵可夫斯基方程

$$\frac{d\vec{P}}{dt} = - |e| (\vec{E} + \frac{\vec{v}}{c} \times \vec{B}) \quad (3)$$

中, 令 $\vec{q} = \vec{p}/moc$, 得

$$\frac{dq}{dz} = - \frac{\gamma |e|}{moc^2 q_z} (\vec{E}_{ir} + \vec{E}_l + \frac{\vec{v}}{c} \times \vec{B}_l) \quad (4)$$

此处利用了关系 $d/dt = v_z d/dz$ 。

由 $q = p/moc = \gamma \beta$ 和 $\gamma = (1 - \beta^2)^{-1/2}$ (这里 $\beta = v/c$, γ 为相对论因子), 很容易得到

$$\gamma = \sqrt{1 + q^2} \quad (5)$$

于是, 电子的非线性相对论运动方程可写成

$$\begin{cases} \frac{dq_x}{dz} = - \frac{\sqrt{1 + q^2}}{q_z} \left[\vec{E}_{ix} + \vec{E}_l \left(1 - \frac{q_z}{\beta_{ph}} \frac{1}{\sqrt{1 + q^2}} \right) \cos \left[\bar{\omega} \left(\bar{t} - \frac{\bar{z}}{\beta_{ph}} \right) \right] \right] \\ \frac{dq_z}{dz} = - \frac{\sqrt{1 + q^2}}{q_z} \left[\vec{E}_{iz} + \frac{q_x}{\beta_{ph}} \frac{1}{\sqrt{1 + q^2}} \vec{E}_l \cos \left[\bar{\omega} \left(\bar{t} - \frac{\bar{z}}{\beta_{ph}} \right) \right] \right] \\ \frac{d\bar{x}}{d\bar{z}} = \frac{q_x}{q_z} \\ \frac{d\bar{t}}{d\bar{z}} = \frac{\sqrt{1 + q^2}}{q_z} \end{cases} \quad (6)$$

式中 $\bar{\omega} = \omega/k_w c = (\Delta + \beta_{z0}) / (1 - \beta_{z0}/\beta_{ph})$, Δ 为归一化的频率失谐量, 其它量按如下方式归一化

$$\left. \begin{aligned} \bar{x} &= k_w x, \bar{z} = k_w z, \bar{t} = k_w c t, \\ \beta_{ph} &= v_{ph}/c, \bar{\omega}_{pe} = \omega_{pe}/k_w c, \\ E_t &= |e| E_t / (m_0 c^2 k_w), \\ E_{ix} &= |e| E_{ix} / (m_0 c^2 k_w) = \bar{\omega}_{pe}^2 \epsilon_i \sin \theta \cos \bar{z}, \\ E_{iz} &= |e| E_{iz} / (m_0 c^2 k_w) = -\bar{\omega}_{pe}^2 \epsilon_i \cos \theta \cos \bar{z}. \end{aligned} \right\} \quad (7)$$

束-波换能效率 η 定义为电子束失去的动能与初始动能之比:

$$\eta = \frac{1}{N} \sum_{i=1}^N \frac{\sqrt{1 + q_i^2(\bar{z} = 0)} - \sqrt{1 + q_i^2(\bar{z})}}{\sqrt{1 + q_i^2(\bar{z} = 0)} - 1} \quad (8)$$

式中 N 为采样电子的数目, $q_i(z)$ 为第 i 个电子在纵向位置 z 的归一化动量值。

3 数值计算与分析

通过联立求解式(6)和(8), 可求得 IRL 的束-波互作用效率 η 。数值模拟的迭代步骤如下: 首先, 给各物理量赋初值; 接着, 由式(6)解出各采样电子的 q_i 值; 然后, 将 $q_i(\bar{z})$ 代入式(8)求出效率 η ; 最后, 将该步的迭代终值反馈回式(6), 进行下一步迭代。如此循环下去, 便得到效率 η 随归一化的纵向位置 \bar{z} 的演化曲线。

我们利用变步长的四阶龙格-库塔法求解微分方程组。采样方式为在 $-\pi \leq \bar{t} \leq \pi$ 的范围内均匀地选取 N 个电子。由于 $\bar{t} = k_w c t$, 因此在范围 $-\pi \leq \bar{t} \leq \pi$ 内采样等效于在一个波纹周期内采样, 也就是等效于沿纵向在一个 wiggler 波长范围内采样。非线性数值模拟的结果如图 1 所示。

图中给出了考虑与不考虑离子波纹场的纵向分量时, 互作用效率 η 随归一化的纵向位置 \bar{z} 的演化曲线。从图中可以看出, 离子波纹场的纵向分量对 IRL 的工作状况具有较大的影响。当考虑该纵向分量时, 束-波换能状态要受到它的调制, 呈现周期性的变化。在整个束-波互作用期间, 沿纵向运动的电子群聚中心交替位于吸收和失去能量的相位。但在束-波互作用达到饱和之前, 群聚电子交出的能量总是大于它获得的能量。我们对选取的参数满足 $k_w c \gg \omega_{pe}/Y_0^{3/2}$ 的情况^[1] 也进行了计算。结果表明, 此时整个束-波互作用效率都显著降低(这一点从饱和效率 $\eta \sim \omega_{pe}/2Y_0^{3/2}k_w c$ ^[1] 也可看出), 尽管考虑离子波纹场纵向分量影响后的 $\eta \sim \bar{z}$ 曲线中效率周期性起伏的绝对值明显减小, 但与不考虑纵向场分量的 $\eta \sim \bar{z}$ 曲线相比, 其相对起伏仍然较大, 即这时离子波纹场的纵向分量对 IRL 的影响仍不可忽视。由此可见, 对 IRL 而言, 互作用长度的选择是非常重要的。

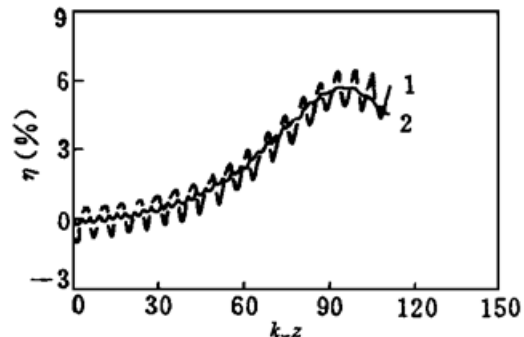


图 1 考虑(点线 1)与不考虑(实线 2)离子波纹场纵向分量时, 效率 η 沿纵向的演化曲线。此处 $Y_0 = 2.96$, $\theta = 60^\circ$, $\epsilon = 0.1$, $E_t = 0.5$, $\beta_{ph} = 1.0093$, $\Delta = 0.003$, $k_w c/\omega_{pe} = 1.8$

Fig. 1 Efficiency η versus normalized longitudinal position $k_w z$ with the longitudinal component of the ion-ripple field taken (curve 1) and not taken (curve 2) into consideration, where $Y_0 = 2.96$, $\theta = 60^\circ$, $\epsilon = 0.1$, $E_t = 0.5$, $\beta_{ph} = 1.0093$, $\Delta = 0.003$, and $k_w c/\omega_{pe} = 1.8$

例如,在图 1 的参数下,当归一化的互作用长度等于 96 时,输出端的效率为 4.9%;而当归一化的互作用长度等于 99 时,效率为 6.6%。因此,在 IRL 的设计中,互作用长度必须仔细调整到最佳值。同时,由于即使所选参数满足 $k_w c \gg \omega_{pe}/\gamma^{3/2}$, IRL 的效率对互作用长度的敏感性仍不能消除,而且这时效率下降很多,故离子波纹波数和电子束能量似不宜过大。但为了获得更短波长(如紫外或 X 射线区)的辐射,又要求增加波纹波数和电子束能量。为此,必须根据需要在两者之间寻找合适的平衡点。

参 考 文 献

- 1 Chen K. R., Dawson J. M.. Ion-ripple laser. *Phys. Rev. Lett.*, 1992, **68**(1) : 29~ 32
- 2 Chen K. R., Dawson J. M.. Amplification mechanism of ion-ripple lasers and its possible application. *IEEE Trans. on Plasma Sci.*, 1993, **21**(1) : 151~ 155
- 3 Dai Z.-M., Xu L.. A Raman ion-ripple laser in a plasma waveguide. *Phys. Lett. A*, 1993, **182**(2, 3) : 305~ 308
- 4 Kupershmidt H., Ron A.. Ion-ripple wiggler for short-wavelength laser. *Appl. Phys. Lett.*, 1993, **63**(13) : 1733~ 1735
- 5 Liu Pukun, Qian Shangjie, Tang Changjian. Effect of longitudinal momentum spread in ion-ripple laser. *Chin. Phys. Lett.*, 1994, **11**(3) : 149~ 152
- 6 Brau C. A.. Free-electron laser. *Science*, 1988, **239** : 1115~ 1121
- 7 Whittum D. H., Sessler A. M., Dawson J. M.. Ion-channel laser. *Phys. Rev. Lett.*, 1990, **64**(21) : 2511~ 2514

Influence of Longitudinal Component of the Ion-ripple Electric Field on Ion-ripple Laser

Liu Pukun

(Department of Technology Physics, Peking University, Beijing 100871)

Xiong Caidong

(Institute of High Energy Electronics, University of Electronic Science and Technology of China, Chengdu 610054)

Abstract The influence of the longitudinal component of the ion-ripple electric field on beam-wave interaction in an ion-ripple laser is investigated by nonlinear numerical simulation. The results show that the longitudinal electric field of the ion-ripple has a large influence on the operation of the ion-ripple laser, and the choice of the interaction length is very important.

Key words ion-ripple, longitudinal field, electron beam, laser